

БОЗОНИЗАЦИЯ И МНОГОПЕТЛЕВЫЕ ВЫЧИСЛЕНИЯ ДЛЯ МОДЕЛИ ВЕССА – ЗУМИНО – ВИТТЕНА

A. Морозов

Рассматривается представление алгебры Каца – Муди в терминах свободных полей.

1. Для нахождения многопетлевых корреляторов в двумерной конформной теории необходимо выразить их через корреляторы каких-то свободных полей на римановой поверхности. Несколько условно такую процедуру будем называть бозонизацией¹⁾. Пока что бозонизация изучается в основном в случае минимальных моделей, которые сводятся к теории свободных скалярных полей со значениями в окружности^{2, 3}. Для перехода к конформным теориям общего вида полезно рассмотреть модель Весса – Зумино – Виттена (ВЗВ)^{4, 5}, так как, по-видимому, все нетривиальные конформные теории могут быть получены из нее с помощью ГКО-проекции (Годдарда–Кента–Олива)⁶.

2. Для простоты начнем со случая модели ВЗВ, связанной с алгеброй Каца–Муди $SU(2)_k$. Тогда токи могут быть записаны через три свободных поля χ, W, ϕ , причем χ и W – бозонные 0- и 1-дифференциалы, а ϕ – скалярное поле со значениями в окружности⁷:

$$\begin{aligned} J_+ &= W \\ H &= 2\chi W + \sqrt{2q} \partial\phi \\ J_- &= \chi^2 W + \sqrt{2q} \chi \partial\phi + (2 - q^2) \partial\chi . \end{aligned} \tag{1}$$

Операторные разложения выглядят следующим образом: $W(z)\chi(0) = +1/z + \dots$, $\phi(z)\phi(0) = +\log z + \dots$; $J_{\pm}(z)H(0) = \pm 2J_{\pm}/z + \dots$, $J_+(z)J_-(0) = -k/z^2 + H/z + \dots$, $H(z)H(0) = +2k/z^2 + \dots$. Центральный заряд алгебры Каца–Муди равен $k = -2 + q^2$, а тензор энергии–импульса

$$T = \frac{1}{2(k+2)} : J_+ J_- + J_- J_+ - \frac{1}{2} H^2 : = -W \partial\chi - \frac{1}{2} (\partial\phi)^2 - \frac{\sqrt{2}}{2q} \partial^2 \phi . \tag{2}$$

Центральный заряд $c = \frac{3k}{k+2} = 3 - \frac{6}{q^2}$, причем $c_{W\chi} = +2$, а $c_{\phi} = 1 - \frac{6}{q^2}$.

¹⁾ Отметим, что в литературе этот термин иногда используется в более общем смысле – при перезаписи теории через бозонные поля, которые не являются свободными (тензор энергии–импульса не квадратичен) см., например,¹. Такая формулировка, однако, не позволяет непосредственно вычислять корреляторы.

Радиус окружности, в которой принимает значения ϕ , пропорционален q . При целых q^2 модель является рациональной конформной теорией и может быть задана с помощью действия

$$k \text{Tr} \left[\int_{d^2 \xi} |g^{-1} \partial g|^2 + \int_{d^3 \xi} (g^{-1} \partial g)^3 \right]. \quad (3)$$

Корреляторы в этой теории строятся из произведений корреляторов свободных полей ϕ и $W\chi$. Корреляторы полей ϕ на поверхности любого рода описаны, например, в ^{3, 8}. Они выражаются через бидифференциалы Прима и тета-функции Θ_{k+2} уровня $k+2$ (т. е. с матрицей периодов, умноженной на $2(k+2)$). Мы опускаем здесь эти известные формулы.

Корреляторы бозонных полей $\beta^{(j)}$, $\gamma^{(1-j)}$ со спинами j и $1-j$ и с тензором энергии-импульса $T_{\beta\gamma} = -j\beta\gamma + (j-1)\gamma\beta$ менее тривиальны, чем корреляторы для гравитационных b, c -систем ^{8, 9}. Они устроены следующим образом ¹⁰. Прежде всего, бозонные поля β, γ могут быть представлены локально как произведения ¹¹ $\beta^{(j)} = \partial\xi^{(0)} e^{-u}$; $\gamma^{(1-j)} = \eta^{(1)} e^{+u}$, где u – бозонное поле со значениями в окружности, а ξ, η – антикоммутирующие поля со спинами 0 и 1; $T_{\xi\eta} = \eta\partial\xi$; $T_u = -\frac{1}{2}(\partial u)^2 - (2j-1)\partial^2 u$. Тогда ¹⁰

$$\langle \xi(x_0) \dots \xi(x_n) \eta(y_1) \dots \eta(y_m) e^{a_1 u(z_1)} \dots e^{a_m u(z_m)} \rangle (\det \bar{\partial}_0)^{-1/2} \sim$$

$$\begin{aligned} & \prod_{i < j} E(x_i, x_j) \prod_{l < j} E(y_l, y_j) \delta(\Sigma a - (2j-1)(p-1)) \\ & \sim \frac{\prod_{i < j} E(x_i, y_j) \prod_{k < l} E(z_k, z_l)^{a_k a_l} \prod \sigma(z_k)^{(2j-1)a_k}}{\prod_{i < j} \prod_{k < l} E(x_i, y_j)^{a_k a_l} \prod \sigma(z_k)^{(2j-1)a_k}} \times \\ & \times \frac{\prod_{i=1}^n \theta(-y_i + \Sigma x - \Sigma y + \Sigma az - (2j-1)\Delta_*)}{\prod_{i=0}^n \theta(-x_i + \Sigma x - \Sigma y + \Sigma az - (2j-1)\Delta_*)} \end{aligned} \quad (4)$$

$(E(x, y)$ – бидифференциал Прима, $\sigma(z)$ – сечение тривиального расслоения, θ – обычная тета-функция на римановой поверхности; подробнее см. в ¹⁰. В нашем случае $j=1$ и $\beta^{(1)} = W, \gamma^{(0)} = \chi$.

Эти формулы доставляют исходный материал для построения конформных блоков в модели ВЗВ $SU(2)_k$. Сами конформные блоки являются определенными линейными комбинациями описанных корреляторов (причем в число линейных комбинаций входят интегралы по нестягиваемым контурам от операторов единичной размерности, в случае рода 0 эти интегралы сводятся к обобщенным гипергеометрическим функциям подробнее см. ^{2, 3}).

3. Описанная конструкция легко обобщается на случай модели ВЗВ с произвольной алгеброй G или ее ГКО-проекции. Исходным для построения бозонизации вида (1) является представление группы G в алгебре векторных полей на пространстве G/H . При этом x_α ($\alpha=1, \dots, \dim_{\mathbb{C}} G/H$) являются координатами на G/H , а $W_\alpha \sim \partial/\partial x_\alpha$. Чтобы получить (1) надо разрешить W_α и x_α зависеть от z, \bar{z} и построить центральное расширение.

Самой модели ВЗВ с центральным зарядом $c = \frac{kD}{k+C_v} = D(1 - \frac{C_v}{k+C_v})$ отвечает выбор однородного пространства G/H размерности $D-r$ (D и r – размерность и ранг алгебры G). Тогда независимые свободные поля x_α, W_α (по-прежнему являющиеся бозонными 0- и 1-дифференциалами) сопоставляются положительным корням алгебры Ли G , $\alpha \in \Sigma_+$, а скалярные поля ϕ_i ($i=1, \dots, r$) со значениями в окружностях – картановским генераторам

рам. Ток, отвечающий картановскому вектору $\vec{\mu}$, имеет простой вид:

$$H_\mu = \sum_{\alpha \in \Sigma_+} \langle \mu, \alpha \rangle \chi_\alpha W_\alpha + q \vec{\mu} \partial \phi. \quad (5)$$

Центральный заряд алгебры равен поэтому

$$k = -C_v + q^2. \quad (6)$$

($\langle \mu, \nu \rangle C_\nu \equiv \sum_{\alpha \in \Sigma_+} \langle \mu, \alpha \rangle \langle \alpha, \nu \rangle$), а тензор энергии–импульса полей χ_α , W_α и ϕ_i имеет

вид:

$$T = \frac{1}{2(k+C_v)} : \sum_{\alpha \in \Sigma_+} (J_\alpha J_{-\alpha} + J_{-\alpha} J_\alpha - \frac{1}{C_v} H_\alpha H_\alpha) : = - \sum_{\alpha \in \Sigma_+} W_\alpha \partial \chi_\alpha - \frac{1}{2} (\partial \vec{\phi})^2 - \frac{1}{2q} \sum_{\alpha \in \Sigma_+} \vec{\alpha} \partial^2 \vec{\phi}. \quad (7)$$

Центральный заряд $c = D - \frac{DC_v}{k+C_v}$ складывается из $c_{W_\alpha, \chi_\alpha} = +2$, из $c_{\vec{\phi}} = +1$ для всех $\vec{\phi}$, ортогональных к вектору $\vec{\rho} \equiv \frac{1}{2} \sum_{\alpha \in \Sigma_+} \vec{\alpha}$, и из центрального заряда поля $\vec{\phi}_A$, коллинеарного этому вектору, который равен $1 - \frac{12\rho^2}{q^2} = 1 - \frac{DC_v}{k+C_v}$. 1-петлевые характеристики $\chi \sim \eta(q)^D (\theta_{k+C_v})^r \theta^{D-r}$.

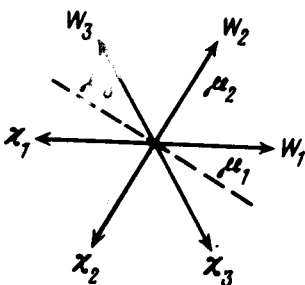


Диаграмма корней алгебры $SU(3)$

Остальные токи, являющиеся генераторами Каца–Муди, $j_{\pm\alpha}$ для $\alpha \in \Sigma_+$, выглядят довольно громоздко. Например, в случае $SU(3)_k$ (см. рис.):

$$J_1 = W_1 - a \chi_3 W_2 \quad (8)$$

$$J_2 = W_2$$

$$J_3 = W_3 + b \chi_1 W_3$$

$$J_{-1} = \chi_1^2 W_1 + b \chi_1 \chi_2 W_2 - b \chi_1 \chi_3 W_3 + \chi_2 W_3 + ab \chi_1^2 \chi_3 W_2 + (2 + b - q^2) \partial \chi_1 + q \chi_1 \vec{\alpha}_1 \partial \vec{\phi}$$

$$J_{-2} = \chi_1 \chi_2 W_1 + \chi_2^2 W_2 + \chi_2 \chi_3 W_3 + a \chi_1^2 \chi_3 W_1 - b \chi_1 \chi_3^2 W_3 + ab \chi_1^2 \chi_3^2 W_2 + (3 - q^2) \partial \chi_2 + q \chi_2 \vec{\alpha}_2 \partial \vec{\phi} + a(2 - q^2) \chi_3 \partial \chi_1 - b(2 - q^2) \chi_1 \partial \chi_3 + q \chi_1 \chi_3 (a \vec{\alpha}_1 - b \vec{\alpha}_3) \partial \vec{\phi}$$

$$J_{-3} = -a \chi_1 \chi_3 W_1 + a \chi_2 \chi_3 W_2 + \chi_3^2 W_3 - \chi_2 W_1 - ab \chi_1 \chi_3^2 W_2 + (2 + a - q^2) \partial \chi_3 + q \chi_3 \vec{\alpha}_3 \partial \vec{\phi}$$

$$H_1 = 2\chi_1 W_1 + \chi_2 W_2 - \chi_3 W_3 + q \vec{\alpha}_1 \partial \vec{\phi}$$

$$H_2 = \chi_1 W_1 + 2\chi_2 W_2 + \chi_3 W_3 + q \vec{\alpha}_2 \partial \vec{\phi}$$

$$H_3 = -\chi_1 W_1 + \chi_2 W_2 + 2\chi_3 W_3 + q \vec{\alpha}_3 \partial \vec{\phi};$$

$$J_{\vec{\alpha}}(z) J_{\vec{\beta}}(0) = N_{\vec{\alpha}, \vec{\beta}} J_{\vec{\alpha} + \vec{\beta}} / z + \dots \text{ при } \vec{\alpha} + \vec{\beta} \in \Sigma \quad (N_{\vec{\alpha}, \vec{\beta}} = \pm 1),$$

$$J_{\alpha}(z) H_{\beta}(0) = \langle \alpha, \beta \rangle J_{\alpha} / z + \dots,$$

$$J_{\alpha}(z) J_{-\alpha}(0) = -k/z^2 + H_{\alpha}/z + \dots, \quad H_{\alpha}(z) H_{\beta}(0) = +\langle \alpha, \beta \rangle k/z^2 + O(1);$$

$$T = -W_1 \partial \chi_1 - W_2 \partial \chi_2 - W_3 \partial \chi_3 - \frac{1}{2} (\partial \phi_1)^2 - \frac{1}{2} (\partial \phi_2)^2 - \frac{\sqrt{2}}{q} \partial^2 \phi_2. \quad (9)$$

Центральные заряды: $k = -3 + q^2$, $c = \frac{8k}{k+3} = 8 - \frac{24}{q^2}$. Векторы $\vec{\alpha}_1, \vec{\alpha}_2, \vec{\alpha}_3$ направлены вдоль трех положительных квадрант и имеют одинаковую длину $\sqrt{\langle \alpha, \alpha \rangle} = \sqrt{2}$. Параметры a и b связаны соотношением

$$a + b = 1, \quad (10)$$

конкретный выбор a несуществен (представление (8) несколько упрощается, если выбрать $a=0, b=1$). Формулы (8) отвечают пространству $G/H = SU(3)/U(1) \times U(1)$. Другие выборы G/H связаны с ГКО-проекциями $SU(3)$ -модели; при этом число полей $\chi_{\alpha}, W_{\alpha}$ очевидным образом уменьшается.

Все поля $\chi_{\alpha}, W_{\alpha}$ и ϕ_i свободные и независимые; их корреляторы, необходимые для построения конформных блоков, описаны в п. 2. Отметим, однако, что как и в случае минимальных моделей, отбор правильных линейных комбинаций не вполне тривиален (это относится даже к случаю свободной теории $SU(2)_{k=1}$).

Автор признателен за обсуждения А.Герасимову, В.Доценко, А.Маршакову, А.Миронову, Г.Муру, А.Рослому, В.Фатееву, В.Фоку, С.Шаташвили, А.Шварцу.

Литература

1. Li K., Warner N. Preprint CERN-TH 5047/88; Griffin P., Nemeschansky D. Preprint SLAC-PUB-4666/88; Kiritsis E. Preprint CALT, 1988.
2. Dotzenko V., Fateev V. Nucl. Phys. B, 1984, **240**, 312. Jayaraman T., Narain K. Preprint CERN-TH 5166/88; Felder G. Preprint Zurich, 1988.
3. Gerasimov A. et al. Preprint ITEP-139/88.
4. Witten E. Comm. Math. Phys., 1984, **92**, 455.
5. Knizhnik V., Zamolodchikov A. Nucl. Phys. B, 1984, **247**, 83.
6. Goddard P., Kent A., Olive D. Phys. Lett. B, 1985, **152**, 88; Moore G., Seiberg N. Preprint IASSNS, 1989.
7. Dotzenko V., Fateev V. Preprint ITP, 1988; Alekseev A., Shatashvili S. Preprint LOMI E-16-88.
8. Alvarez-Gaume L., Bost J., Moore G. et al. Comm. Math. Phys., 1987, **112**, 503.
9. Knizhnik V. Phys. Lett. B, 1986, **180**, 247.
10. Verlinde E., Verlinde H. Phys. Lett. B, 1987, **192**, 95; Attick J., Sen A. Preprint SLAC-PUB-4292/88; Semikhatov A. Preprint FIAN, 1989; Morozov A. Nucl. Phys. B, 1988, **303**, 343.
11. Friedan D., Martinec E., Shenker S. Nucl. Phys. B, 1986, **271**, 93.